



سال یازدهم، شماره‌ی ۳۶
زمستان ۱۳۹۰، صفحات ۲۸۲-۲۵۵

دانشگاه آزاد اسلامی واحد اهر
فصلنامه‌ی علمی-پژوهشی فضای جغرافیایی

حسین نگارش^۱
منصوره شاه حسینی^۲

بررسی روش‌های تخمین آبدهی سالانه و برآورد سیلاب‌های حوضه آبخیز تیغ آب شهرستان خاش

تاریخ دریافت مقاله: ۱۳۸۹/۰۶/۲۹
تاریخ پذیرش مقاله: ۱۳۸۹/۱۱/۰۴

چکیده

حوضه آبخیز تیغ آب، بین شهرستان‌های خاش و ایرانشهر قرار گرفته است. در این تحقیق پس از جمع آوری آمار دراز مدت (۲۲ ساله) از دما، دبی و بارش حوضه، مطالعات در دو بخش انجام شد. در بخش اول به بررسی روش‌های مختلف در برآورد آبدهی سالانه حوضه و در بخش دوم به بررسی سیلاب و انتخاب بهترین و مناسب‌ترین روش در تخمین میزان آن، پرداخته شد. آزمون‌های مختلف آماری بر روی داده‌ها انجام گرفت تا از همگنی داده‌ها و برآکش ایستگاه‌های منتخب، اطمینان حاصل شود. سپس با استفاده از روش‌های جاستین، رابطه کمیته تحقیقات کشاورزی هندوستان (ICAR)، مؤسسه تحقیقات آبیاری ایالت UP

۱- دانشیار گروه جغرافیا و برنامه‌ریزی محیطی، دانشگاه سیستان و بلوچستان.

Email: H_negaresh@hamoon.usb.ac.ir

۲- کارشناس ارشد جغرافیای طبیعی (اقلیم‌شناسی در برنامه‌ریزی محیطی).

هندوستان و رابطه لیسی، ارتفاع رواناب سلانه محاسبه شد و بهترین روش جهت برآورده‌ی سلانه انتخاب گردید. بر این اساس، از بین روش‌های مورد استفاده در حوضه جاستین، به دلیل در نظر گرفتن پارامترهای اقلیمی و غیر اقلیمی فراوان و نیز ضریب منطقه‌ای، در برآورده‌ی میانگین آبدھی سلانه، نتیجه بهتری را ارائه داده و برای استفاده در حوضه آبخیز تیغ آب توصیه می‌شود. در مرحله بعدی سیلاپ منطقه بررسی شد و پس از برآورد دبی پیک سیلاپ ایستگاه‌ها، به بررسی روش‌های مختلف تخمین سیلاپ و انتخاب مناسب‌ترین روش جهت برآورده آن در دوره‌های بازگشت مختلف، اقدام گردید. بر اساس نتایج مشاهده شده، جهت برآورده حداکثر دبی لحظه‌ای سیلاپ، روش SCS از جامعیت بیشتری بر خوردار است.

کلید واژه‌ها: روش‌های تجربی، جاستین، آبدھی، سیلاپ، روش SCS

مقدمه

از گذشته‌های دور تاریخی مهار و استفاده از آب یکی از مظاهر تمدن بوده و اکنون آب یکی از چالش‌های قرن حاضر است که در آینده یکی از مشکلات عمدۀ انسان به حساب خواهد آمد. افزایش جمعیت، رشد روز افزوون فعالیت‌های کشاورزی و صنعتی و گسترش بی رویه شهرها منجر به آводگی منابع آب و ایجاد بحران‌های منطقه‌ای ناشی از توزیع ناهمگون منابع و مصارف در بسیاری از نقاط جهان شده است. این بحران‌ها در کنار تغییرات جوی و نزدیک شدن به انتهای منابع غیر قابل احیا مانند نفت بیش از پیش مسئله مدیریت یکپارچه و جامع آب و استفاده بهینه از آن به عنوان یک منبع انرژی پایدار را مطرح کرده است (محمودی و همکاران، ۱۳۸۶).

منطقه مورد مطالعه از جمله مناطقی است که از کمبود آب و خشکسالی رنج می‌برد اما همه ساله وقوع رگبارهای تند و شدید و جاری شدن سیل مشکلات آنرا مضاعف نموده است. وقوع بارش‌های شدید، طوفان‌ها، تغییرات موسمی جوی به همراه تغییرات ناشی از عملکرد و بهره برداری انسان از بستر سیلاپی رودخانه و نیز تغییر کاربری اراضی بالا دست حوضه از

مهم‌ترین عوامل به وجود آورنده و در عین حال تشیدید کننده جریان‌های سیلابی این منطقه به شمار می‌آیند. از آنجا که منطقه مورد مطالعه از یک طرف با کمبود منابع آب برای مصارف گوناگون مواجه است و از طرف دیگر سیلاب همه ساله خسارات هنگفتی را به منطقه وارد می‌سازد، از این رو پرداختن به مسئله سیل و سیلاب و بررسی علل بروز و افزایش آن و نیز تخمین میزان آبدهی سالانه حوضه و همچنین جلوگیری از وقوع سیلاب‌های مخرب و بهبود بخشیدن نظام بهره برداری از آب‌های سطحی از جمله مواردی هستند که می‌توانند از اهداف مهم این تحقیق به شمار آیند. بررسی سیل و سیلاب تاکنون از منظرهای متفاوتی مورد مطالعه قرار گرفته است که ذیلاً به برخی از آنها به طور مختصرا اشاره می‌شود.

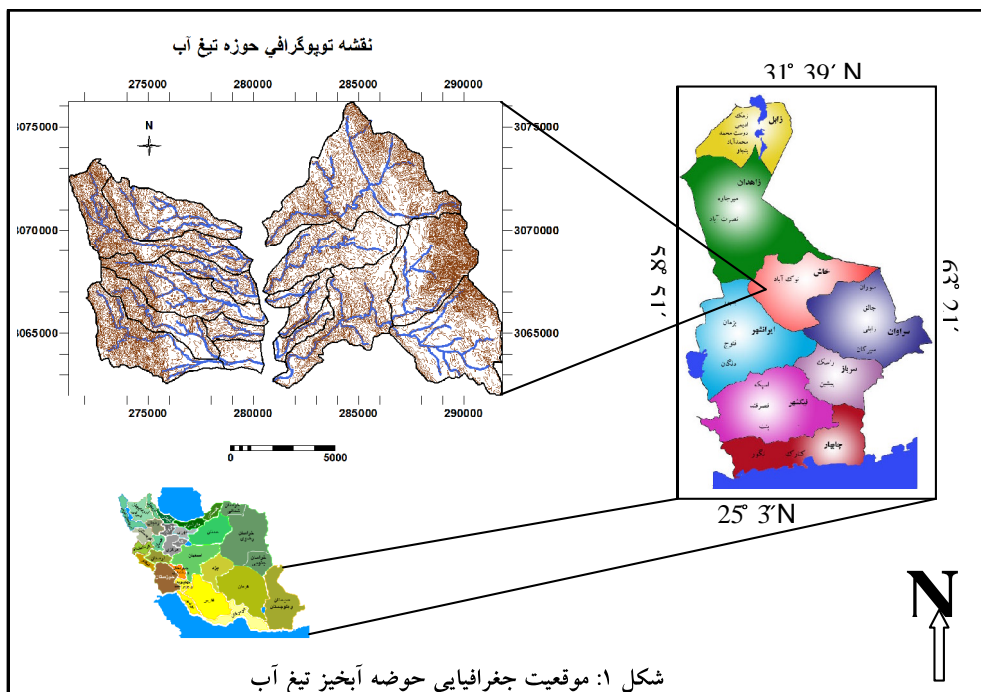
رضابی کلچ و همکاران (۱۳۷۹) شدت سیل خیزی زیرحوضه‌های کن را مورد بررسی قرار داده‌اند و نتایج این تحقیق نشان می‌دهد که عکس‌العمل زمینی و مجموعه عوامل محیطی موجود در آن نسبت به نزولات جوی که به صورت رواناب بروز کرده همراه با شدت آن ارتباط مستقیمی با نوع خسارت حاصله دارد. Broks و همکاران (۱۹۹۱) با انجام مطالعاتی در زمینه تأثیر قطع جنگل روی حجم و دبی سیلاب به این نتیجه رسیدند که قطع پوشش جنگلی اگر چه ممکن است موجب افزایش سیلاب گردد لیکن در بعضی مواقع این امر به دلیل عدم همزمانی دبی اوج زیرحوضه‌های بالادست می‌تواند موجب کاهش دبی اوج نیز گردد. کار آموز و همکاران در سال ۱۳۸۶ مطالعاتی را در زمینه مدیریت جامع منابع آب حوضه آبخیز در راستای رسیدن به توسعه پایدار انجام داده‌اند. در سال ۱۹۹۴ Karunaniti و همکاران از شبکه‌های عصبی برای تخمین حجم سیلاب یک حوضه استفاده کردند. شریفی و Boyd در سال ۱۹۹۴ مدل‌های بارش - رواناب ۳ پارامتره AWBM و SFB را در استرالیا مطالعه کردند و نتیجه گرفتند که مدل AWBM بهتر از مدل SFB رواناب را شبیه سازی می‌کند. Groening و Williams در پژوهشی اثر شهرنشینی را بر واکنش سیل رودخانه‌ی صخره‌ی سفید دالاس مطالعه نموده‌اند. Tong Jiang و همکاران در سال ۲۰۰۷ اثرات روند تغییرات زمانی و فضایی بارش بر رژیم جریان رودخانه‌ای حوضه آبریز یانگ تسه را در ۱۴۷ ایستگاه هواشناسی، طی دوره‌ی ۲۰۰۰ - ۱۹۶۱ با استفاده از روش‌های آماری من- کندال و رگرسیون خطی تحلیل

کرده‌اند. خلیقی و همکاران (۱۳۸۴) بررسی اثر تغییر کاربری اراضی بر سیل خیزی با استفاده از مدل NRCS در حوضه باراندوزچای در آذربایجان غربی را مورد مطالعه قرار داده‌اند. مسعودیان (۱۳۸۴) شناسایی الگوهای گردشی پدید آورنده سیلاب‌های بزرگ در کارون را بررسی کرده است. نقش عوامل فیزیوگرافیک حوضه بر دبی‌های حد اکثر لحظه‌ای در زیر حوضه‌های گرگان رود به منظور ارائه مدل منطقه‌ای سیلاب توسط سلیمانی و همکاران (۱۳۸۲) مورد بررسی قرارگرفته است. مقایسه مدل‌های تحلیل منطقه‌ای سیلاب و بارش - رواناب در شرق استان هرمزگان را مرید و همکار (۱۳۸۲) در مقاله‌ای بررسی کرده‌اند. همچنین سلیمانی و همکار (۱۳۸۱) نقش عوامل هیدرو اقلیم در وقوع سیل حوضه نکارود را مورد مطالعه خود قرار داده‌اند.

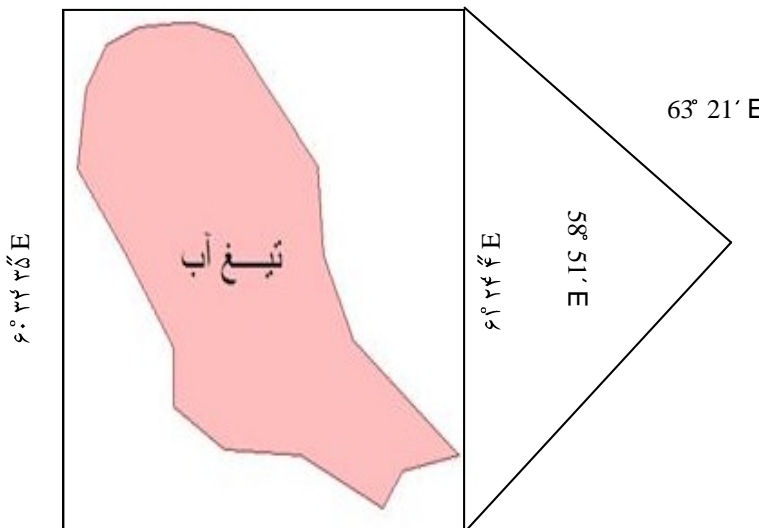
موقعیت جغرافیایی و ویژگی‌های طبیعی

حوضه آبخیز تیغ آب در جنوب شهرستان خاش و شمال شهرستان ایرانشهر در منتهی‌الیه شمال شرقی حوضه آبریز جازموریان شرقی بین طول‌های جغرافیایی "۶۰°۳۲'۳۵/۱۱" الی "۶۱°۲۷'۰۳" شرقی و عرض‌های "۲۱°۰۴'۲۲" شمالي تقریباً در قسمت جنوب شرقی استان سیستان و بلوچستان قرار دارد (شکل ۱). محدوده مطالعاتی، بخشی از حوضه آبخیز دامن و حوضه آبریز جازموریان است. حوضه آبخیز تیغ آب با توجه به موقعیت جغرافیایی خود و قرارگیری در عرض‌های پایین، از نظر آب هوایی جزو مناطق خشک محسوب می‌شود و بر اساس طبقه بندي اقلیمی دمارتن، جزو مناطق با آب و هوای خشک و در طبقه بندي اقلیمی آمبرژه جزو گروه اقلیمی بیبانی گرم شدید محسوب می‌شود (شرکت سهامی آب منطقه‌ای سیستان و بلوچستان، ۱۳۸۱). بارش‌های منطقه از توده هوای حاره (MT) و یا توده هوای قاره‌ای - حاره (CT) تغذیه می‌گردد و رطوبت آن قبل از اینکه وارد منطقه شود از طریق اقیانوس هند و دریای عمان تغذیه می‌شود و هر قدر از جنوب به سمت شمال پیش روی می‌کند و از منبع رطوبتی فاصله می‌گیرد، در نتیجه از میزان رسیدگی آن کاسته می‌شود (سازمان هواشناسی کشور، ۱۳۸۰).

سیل در حوضه آبریز مورد مطالعه همه ساله موجب تخریب پل‌ها، مزارع، مناطق مسکونی، راه‌های ارتباطی و سازه‌های دیگر می‌شود و اگر رفتارهای هیدرولوژیکی آن شناخته نشود، موجب تلفات جانی و مالی فراوانی می‌گردد. در این حوضه رودخانه کارواندر در حدود ۲/۵ کیلومتر پایین دست ایستگاه هیدرومتری کارواندر و پس از ملحق شدن رودخانه‌های مرونتاك، پشتاک و کهاند بنام رودخانه تیغ آب شناخته می‌شود. در ادامه این رودخانه مسیری حدود ۱۷ کیلومتر را به سمت جنوب طی می‌کند و به ایستگاه هیدرومتری دامن می‌رسد. ۱۵ کیلومتر پایین‌تر رودخانه در یک مخروط افکه بزرگ پخش می‌شود و در ۳۰ کیلومتری پایین دست ایستگاه رودخانه دامن به حوالی شهر ایرانشهر می‌رسد. در این حوالی رودخانه به نام بمپور معروف است. در ادامه رودخانه بمپور مسیری به سمت غرب پی می‌گیرد و پس از مشروب کردن اراضی بمپور و گذر از بند انحرافی بمپور، در انتهای به هامون جازموریان می‌ریزد.



۲۸° ۴' N



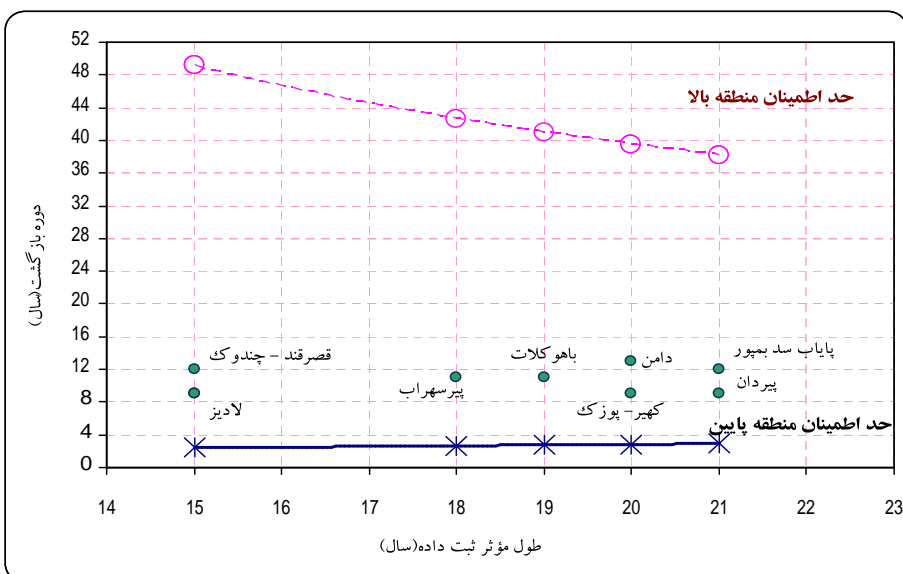
مواد و روش‌ها

در انجام این تحقیق پس از مطالعات کتابخانه‌ای، نسبت به تهیه نقشه موقعیت جغرافیایی حوضه آبریز مورد مطالعه در محیط GIS اقدام گردید و سپس یک دوره آماری ۲۲ ساله از سال ۱۳۶۰-۶۱ تا ۱۳۸۲-۸۳ برای ۹ ایستگاه هیدرومتری و باران سنجی که در مجاورت حوضه مورد مطالعه قرار دارند و مشخصات آنها در جدول ۱ ارائه شده است، جهت انجام تحلیل‌های آماری انتخاب شدند. داده‌های مورد استفاده دارای نواقص فراوانی بودند که ابتدا با استفاده از روش همبستگی اقدام به بازسازی آنها گردید، سپس همگنی و مستقل بودن داده‌ها با استفاده از روش ران تست مورد آزمون قرار گرفت و همگنی و وابستگی آنها در سطح بالائی پذیرفته شد (علیزاده، ۱۳۸۵).

جدول ۱: مشخصات ایستگاه‌های هیدرومتری اطراف حوضه مورد مطالعه

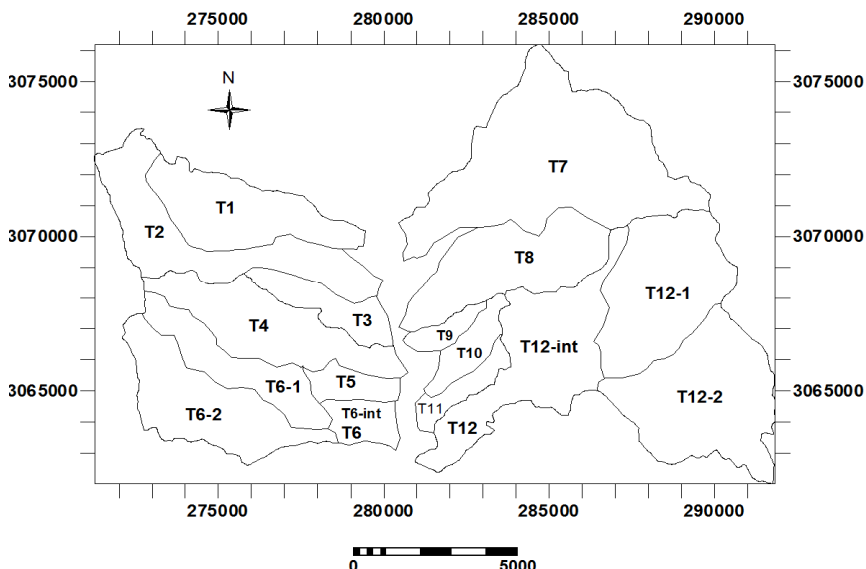
نام ایستگاه	مساحت حوضه بالادست ایستگاه (کیلومتر مربع)	ارتفاع ایستگاه (متر)
پوزک	۴۵۸۰	۳۸
قصر قند (چندوک)	۳۷۵۰	۳۵۰
پیر شهراب	۵۸۳۰	۴۰
پیردان	۲۱۲۰	۸۱۰
پیشین (پایین دست)	۶۶۸۸	۲۰۰
باهوکلات	۸۳۰۸	۳۰
دامن	۳۴۳۷	۶۹۹
پایاب سد بمپور	۷۳۳۰	۶۶۵
لادیز	۱۳۵۰	۱۱۷۸

در گام بعدی جهت اطمینان از همگن بودن ایستگاه‌های انتخابی از توزیع گامبل استفاده شد که شکل ۲ همگنی ایستگاه‌های انتخابی را تأیید می‌کند.



شکل ۲: نمودار تست همگنی توزیع گامبل ایستگاه‌های اطراف حوضه تبع آب

در مرحله بعدی با توجه به عوامل مؤثر در تقسیم بندی حوضه آبخیز، حوضه مورد مطالعه به زیر حوضه های کوچکتری تقسیم گردید و به منظور نامگذاری این زیر حوضه ها، از حرف t استفاده شده است که شامل ۱۲ شاخه یا آبراهه می باشد و ۱۲ زیر حوضه به نام های t_1, t_2, \dots, t_{12} را تشکیل می دهند (شکل ۳). لازم به ذکر است که استفاده از حرف t برای نامگذاری زیر حوضه ها صرفاً جهت سهولت کار بوده و دلیل خاص دیگری نداشته است.



شکل ۳: نقشه واحدهای مطالعاتی حوضه آبخیز تیغ آب

نتایج و بحث

در این پژوهش ابتدا تواتر بارندگی و سپس برآورد آبدهی سالانه و در نهایت محاسبه دبی اوج سیلاب به روش های مختلف مورد مطالعه قرار گرفت:

الف - محاسبه تواتر بارندگی

به منظور بررسی احتمالی وقوع ریزش های جوی سالیانه، تحلیل جامع فراوانی برای آمار ایستگاه مبنای حوضه، یعنی ایستگاه کارواندر (واقع در حوضه آبریز دامن در مجاور منطقه

مورد مطالعه) انجام گردید. بدین ترتیب که پس از ورود داده‌های بارندگی سالانه در دوره آماری مورد نظر به برنامه کامپیوترا (Hyfa Hydrology Frequency Analysis) و استفاده از روش گشتاورها (Moments) و حداکثر درست نمایی (Maximum Likelihood) به کمک آمار حداقل متوسط انحراف نسبی، بهترین توزیع احتمالی که لوگ پیرسون تیپ سه می‌باشد، انتخاب و توافر بارندگی در دوره بازگشتهای مختلف (۲، ۵، ۱۰، ۲۵، ۵۰ و ۱۰۰ ساله) برای ایستگاه کارواندر تعیین گردید و خلاصه نتایج بررسی توافر بارندگی سالانه در ایستگاه کارواندر به روشن فوچ در جدول ۲ ارائه شده است.

جدول ۲: توافر بارندگی سالانه ایستگاه کارواندر

دوره بازگشت به سال	بارش به میلی‌متر					
۱۰۰	۵۰	۲۵	۲۰	۱۰	۵	۲
۵۳۷/۳	۴۸۵/۵	۴۲۸/۹	۴۰۹/۵	۳۴۵/۲	۲۷۳/۵	۱۶۰/۷

همچنین جهت محاسبه توافر بارندگی متوسط سالانه هر یک از زیرحوضه‌های مورد مطالعه از داده‌های ایستگاه معرف (کارواندر) استفاده گردید که نتایج حاصله در جدول ۳ نشان داده شده است.

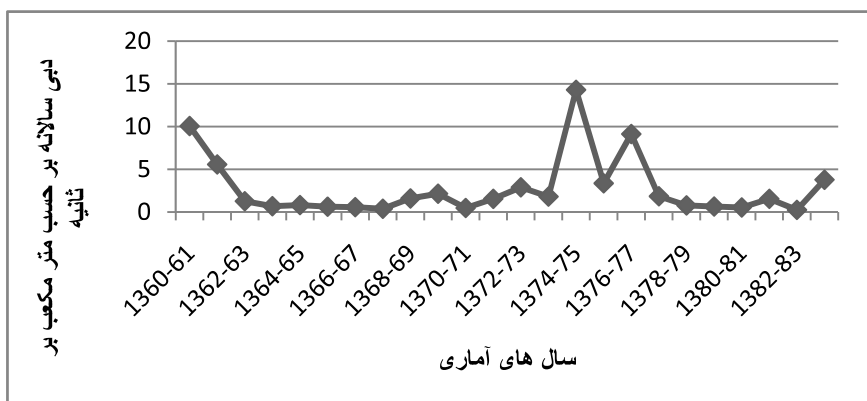
جدول ۳: توافر بارندگی سالانه واحدهای مطالعاتی حوضه تیغ آب (میلی‌متر)

نام زیر حوضه‌ها	دوره‌های بازگشت (سال)						
	۱۰۰	۵۰	۲۵	۲۰	۱۰	۵	۲
T1	۳۹۵/۴	۳۵۷/۳	۳۱۵/۶	۳۰۱/۳	۲۵۴/۰	۲۰۱/۲	۱۱۸/۳
T2	۴۱۱/۷	۳۷۲/۰	۲۲۸/۶	۲۱۳/۷	۲۶۴/۵	۲۰۹/۵	۱۲۳/۱
T3	۳۸۲/۹	۳۴۶/۰	۳۰۵/۷	۲۹۱/۸	۲۴۷/۰	۱۹۴/۹	۱۱۴/۵
T4	۴۰۶/۷	۳۶۷/۵	۳۲۴/۷	۳۱۰/۰	۲۶۱/۳	۲۰۷/۰	۱۲۱/۶
T5	۳۷۹/۶	۳۴۳/۰	۳۰۳/۰	۲۸۹/۳	۲۴۳/۸	۱۹۳/۲	۱۱۳/۵
T6-1	۴۰۱/۸	۳۶۳/۱	۲۲۰/۷	۲۰۷/۲	۲۵۸/۱	۲۰۴/۵	۱۲۰/۲
T6-2	۴۱۲/۴	۳۷۲/۷	۲۲۹/۲	۳۱۴/۳	۲۶۴/۹	۲۰۹/۹	۱۲۲/۳
T6-INT	۳۶۹/۵	۳۲۳/۹	۲۹۵/۰	۲۸۱/۶	۲۳۷/۴	۱۸۸/۱	۱۱۰/۵
T6	۴۰۳/۴	۳۶۴/۵	۳۲۲/۰	۳۰۷/۴	۲۵۹/۲	۲۰۵/۳	۱۲۰/۶

T7	۴۰۸/۵	۳۶۹/۱	۲۲۶/۱	۲۱۱/۳	۲۶۲/۴	۲۰۷/۹	۱۲۲/۲
T8	۳۹۵/۰	۳۵۶/۹	۳۱۵/۳	۲۰۱/۰	۲۵۳/۸	۲۰۱/۰	۱۱۸/۱
T9	۳۸۴/۶	۳۴۷/۶	۳۰۷/۰	۲۹۳/۱	۲۴۷/۱	۱۹۵/۸	۱۱۵/۰
T10	۳۸۹/۳	۳۵۱/۷	۳۱۰/۷	۲۶۹/۷	۲۵۰/۱	۱۹۸/۱	۱۱۶/۴
T11	۳۸۳/۰	۳۴۶/۱	۳۰۵/۷	۲۹۱/۹	۲۴۷/۱	۱۹۴/۹	۱۱۴/۰
T12-1	۴۲۰/۳	۳۷۹/۸	۳۳۵/۵	۳۲۰/۳	۲۷۰/۰	۲۱۳/۹	۱۲۵/۷
T12-2	۱۴۰/۲	۳۷۰/۷	۳۲۷/۵	۳۱۲/۷	۲۶۳/۶	۲۰۸/۸	۱۲۲/۷
T12-INT	۳۹۰/۰	۳۵۲/۴	۳۱۱/۳	۲۹۷/۲	۲۵۰/۶	۱۹۸/۵	۱۱۶/۶
T12	۴۰۵/۹	۳۶۶/۷	۳۲۴/۰	۳۰۹/۳	۲۶۰/۷	۲۰۷/۶	۱۲۱/۴

تحلیل آبدهی رودخانه دامن

با توجه به شکل ۴ مشاهده می‌شود که میانگین دبی سالانه در ایستگاه دامن از حدود ۲۵/۰ تا ۱۴/۰ مترمکعب در ثانیه متغیر است که نشان دهنده نوسانات زیادی در مقیاس سالانه می‌باشد و این بدان معنی است که تغییرات دبی در این ایستگاه از رژیم منظمی پیروی نمی‌کند و نوسانات دبی ترسالی‌ها و خشکسالی‌های منطقه از شدت بالایی برخوردار بوده و اطمینان کمتری برای رشد پوشش گیاهی و تأمین منابع آبی سالانه وجود دارد.



شکل ۴: منحنی تغییرات دبی سالانه رودخانه دامن (مترمکعب بر ثانیه)

ب - روش‌های برآورد آبدهی سالانه حوضه مورد مطالعه

به منظور تعیین آبدهی حوضه تیغ آب و هر یک از زیر حوضه‌های آن، به علت عدم وجود ایستگاه هیدرومتری در حوضه به ناچار با استفاده از داده‌های ایستگاه‌های مجاور، از روش‌های تجربی مناسب با شرایط منطقه مورد مطالعه، استفاده شده است که در زیر به شرح هر کدام پرداخته می‌شود:

۱- رابطه کمیته تحقیقات کشاورزی هندوستان (ICAR)

انجمن تحقیقات کشاورزی هند جهت برآورد رواناب سالانه حوضه‌های آبخیز کوچک فرمول زیر را ارائه کرده است:

$$R = \frac{1.511 P^{1.44}}{T^{1.34} A^{0.063}} \quad (1)$$

در این رابطه R - رواناب سالانه به سانتی متر، P - میانگین بارندگی سالانه به سانتی‌متر، T - متوسط درجه حرارت سالانه به سانتی‌گراد و A - مساحت حوضه به کیلومتر مربع می‌باشد. جدول ۴ نتایج حاصل از این رابطه را برای زیر حوضه‌های تیغ آب نشان می‌دهد.

جدول ۴: دبی متوسط و حجم سیلاب سالانه برآورد شده به روش ICAR در زیر حوضه‌های تیغ آب

نام زیر حوضه‌ها	مساحت (Km ²)	میانگین بارندگی سالانه (cm)	متوسط درجه حرارت سالانه (c)	ارتفاع رواناب (cm)	حجم رواناب (m ³)	دبی متوسط سالانه (m ³ /s)
T1	۱۰/۸۶۵	۱۳/۵	۲۱/۶	۰/۹۰	۹۸۲۷۹/۴۲	۰/۰۰۳
T2	۱۳/۱۰۸	۱۴/۱	۲۰/۹	۰/۹۹	۱۲۹۸۲۹/۸۶	۰/۰۰۴
T3	۴/۴۴	۱۳/۱	۲۲/۱	۰/۸۸	۳۹۲۹۰/۸۷	۰/۰۰۱
T4	۱۱/۸۸	۱۳/۹	۲۱/۱	۰/۹۷	۱۱۴۸۶۶/۹۱	۰/۰۰۴
T5	۲/۵۵۵	۱۳/۰	۲۲/۲	۰/۹۰	۲۲۹۵۲/۶۰	۰/۰۰۱
T6-1	۷/۲۲۳	۱۳/۷	۲۱/۳	۰/۹۷	۷۹۸۵۷/۴۳	۰/۰۰۲
T6-2	۱۱/۸۸۵	۱۴/۱	۲۰/۹	۱/۰۰	۱۱۸۷۲۶/۷۹	۰/۰۰۴

T6-INT	۲/۸۳	۱۲/۶	۲۲/۷	۰/۸۳	۲۳۵۹۴/۱۲	۰/۰۰۱
T6	۲۱/۹۳۳	۱۳/۸	۲۱/۳	۰/۹۱	۱۹۹۲۸۹/۵۰	۰/۰۰۶
T7	۲۸/۰۱	۱۴/۰	۲۱	۰/۹۳	۲۶۴۵۷۱/۶۷	۰/۰۰۸
T8	۱۲/۰۸۸	۱۳/۵	۲۱/۶	۰/۹۰	۱۱۲۶۷۷/۹۷	۰/۰۰۴
T9	۱/۶۹۳	۱۳/۲	۲۲	۰/۹۵	۱۶۰۹۳/۰۲	۰/۰۰۱
T10	۳/۰۷	۱۳/۳	۲۱/۸	۰/۹۴	۲۸۹۷۷/۹۲	۰/۰۰۱
T11	۲/۴۴۸	۱۳/۱	۲۲/۱	۰/۹۲	۲۲۴۷۳/۸۰	۰/۰۰۱
T12-1	۱۵/۲۳۲۵	۱۴/۴	۲۰/۶	۱/۰۳	۱۵۷۰۳۰/۳۱	۰/۰۰۵
T12-2	۱۶/۹۷۲۵	۱۴/۰	۲۱	۰/۹۶	۱۶۳۵۸۳/۰۴	۰/۰۰۵
T12-INT	۱۵/۰۹۵	۱۳/۳	۲۱/۸	۰/۸۶	۱۲۹۵۹۶/۸۴	۰/۰۰۴
T12	۴۷/۳	۱۳/۹	۲۱/۱	۰/۸۹	۴۱۸۸۹۷/۹۲	۰/۰۱۳

۲- رابطه جاستین

جاستین جهت برآورد رواناب سالانه با استفاده از سه پارامتر بارندگی، درجه حرارت و شیب حوضه رابطه‌ای به شکل زیر ارائه نموده است.

$$R = KS^{0.155} \frac{P^2}{(1.8T + 32)} \quad (\text{رابطه } ۲)$$

در این رابطه R- رواناب سالانه به سانتی متر، P- بارندگی سالانه به سانتی متر، T- متوسط درجه حرارت سالانه به سانتی گراد، K- ضریب منطقه‌ای، که برای حوضه مورد مطالعه حدود ۰/۲۸ محاسبه شده است، S- شیب متوسط حوضه آبخیز به درصد که از رابطه زیر به دست آمده است.

$$S = \frac{H_{\max} - H_{\min}}{\sqrt{A}} \quad (\text{رابطه } ۳)$$

در این رابطه H_{max} - حد اکثر ارتفاع حوضه به متر، H_{min} - حداقل ارتفاع حوضه به متر،
A- مساحت حوضه به کیلومتر مربع می‌باشد.

جدول ۵ نتایج روش جاستین را برای زیرحوضه‌های تیغ آب نشان می‌دهد.

جدول ۵: دبی متوسط و حجم سیلاب سالانه برآورد شده به روش جاستین برای زیرحوضه‌های تیغ آب

نام زیر حوضه‌ها	مساحت (Km ²)	میانگین بارندگی سالانه (cm)	متوسط درجه حرارت سالانه (c)	شیب متوسط حوضه	ضریب k منطقه‌ای	ارتفاع رواناب (mm)	حجم رواناب (m ³)	دبی متوسط سالانه (m ³ /s)
T1	۱۰/۸۶۵	۱۳/۵۰	۲۱/۶۰	۲۸/۰۳	۰/۲۸	۱۲/۰۷	۱۳۱۱۳۳/۳۵	۰/۰۰۴
T2	۱۳/۱۰۸	۱۴/۱۰	۲۰/۹۰	۴۳/۳۲	۰/۲۸	۱۴/۳۴	۱۸۷۹۶۷/۶۳	۰/۰۰۶
T3	۴/۴۴	۱۳/۱۰	۲۲/۱۰	۱۹/۰۶	۰/۲۸	۱۰/۶۱	۴۷۱۲۴/۰۲	۰/۰۰۱
T4	۱۱/۸۸	۱۳/۹۰	۲۱/۱۰	۲۲/۳	۰/۲۸	۱۲/۸۶	۱۰۲۷۴۳/۴۷	۰/۰۰۵
T5	۲/۰۵۵	۱۳/۰۰	۲۲/۲۰	۱۸/۰۵	۰/۲۸	۱۰/۳۴	۲۶۴۰۹/۲۵	۰/۰۰۱
T6-1	۷/۲۲۳	۱۳/۷۰	۲۱/۳۰	۳۵/۷۰	۰/۲۸	۱۳/۰۰	۹۳۹۲۴/۳۰	۰/۰۰۳
T6-2	۱۱/۸۸۵	۱۴/۱۰	۲۰/۹۰	۳۸/۳۵	۰/۲۸	۱۴/۰۷	۱۶۷۲۴۱/۸۹	۰/۰۰۵
T6-INT	۲/۸۳	۱۲/۶۰	۲۲/۷۰	۱۰/۰۴	۰/۲۸	۸/۷۲	۲۴۶۸۶/۸۲	۰/۰۰۱
T6	۲۱/۹۳۳	۱۳/۸۰	۲۱/۳۰	۳۱/۸۵	۰/۲۸	۱۲/۹۶	۲۸۴۳۱۱/۱۲	۰/۰۰۹
T7	۲۸/۰۱	۱۴	۲۱	۳۷/۰۷	۰/۲۸	۱۳/۷۶	۳۹۲۴۲۲/۹۵	۰/۰۱۲
T8	۱۲/۵۸۸	۱۳/۵	۲۱/۶	۲۰/۷۰	۰/۲۸	۱۱/۰۲	۱۴۴۹۵۰/۷۷	۰/۰۰۵
T9	۱/۶۹۳	۱۳/۲	۲۲	۱۱/۱۰	۰/۲۸	۹/۹۰	۱۶۷۵۲/۳۲	۰/۰۰۱
T10	۳/۰۷	۱۳/۳	۲۱/۸	۲۵/۶۷	۰/۲۸	۱۱/۰۵	۳۵۲۹۷/۹۲	۰/۰۰۱
T11	۲/۴۴۸	۱۳/۱	۲۲/۱	۱۹/۹۲	۰/۲۸	۱۰/۶۴	۲۶۰۵۵/۴۴	۰/۰۰۱
T12-1	۱۵/۲۳۲۵	۱۴/۴	۲۰/۶	۵۷/۸۰	۰/۲۸	۱۰/۷۲	۲۳۹۴۵۷/۰۸	۰/۰۰۸
T12-2	۱۶۷۹۷۲۵	۱۴	۲۱	۲۴/۰۳	۰/۲۸	۱۲/۸۷	۲۱۸۴۳۴/۵۵	۰/۰۰۷
T12-INT	۱۵/۰۹۵	۱۳/۳	۲۱/۸	۲۵/۹۷	۰/۲۸	۱۱/۰۲	۱۷۳۸۶۵/۶۰	۰/۰۰۶
T12	۴۷/۳	۱۳/۹	۲۱/۱	۳۵/۲۰	۰/۲۸	۱۳/۴۳	۶۳۵۰۲۲/۲۶	۰/۰۲۰

-۳- رابطه مؤسسه تحقیقات آبیاری ایالت UP هندوستان

شكل کلی معادلات پیشنهادی به صورت زیر می‌باشد.

$$UP1) R = 0.14 P^{1.1}$$

$$UP2) R = P - 1.17 P^{0.86} \quad (رابطه ۴)$$

در این روابط R -ارتفاع رواناب بر حسب سانتی متر، P -بارش متوسط بر حسب سانتی متر می‌باشد
نتایج محاسبات روابط (۴) در جداول ۶ و ۷ ارائه شده است.

جدول ۶: دبی متوسط و حجم سیلاب سالانه برآورده شده به روش UP1

نام زیر حوضه‌ها	مساحت (Km ²)	بارندگی (cm)	ارتفاع رواناب (cm)	حجم سیلاب (m ³)	دبی (m ³ /s)
T1	۱۰/۸۶۵	۱۳/۵	۲/۴۵	۲۶۶۳۹۴/۲۹	۰/۰۰۸
T2	۱۳/۱۰۸	۱۴/۱	۲/۵۷	۳۳۷۱۳۷/۲۸	۰/۰۱۱
T3	۴/۴۴	۱۳/۱	۲/۳۷	۱۰۵۳۱۹/۶۶	۰/۰۰۳
T4	۱۱/۸۸	۱۳/۹	۲/۰۳	۳۰۰۷۸۸/۱۷	۰/۰۱۰
T5	۲/۵۵۵	۱۳	۲/۳۵	۶۰۰۹۷/۵۳	۰/۰۰۲
T6-1	۷/۲۲۳	۱۳/۷	۲/۴۹	۱۷۹۹۸۵/۸۱	۰/۰۰۶
T6-2	۱۱/۸۸۵	۱۴/۱	۲/۰۷	۳۰۵۶۸۰/۸۶	۰/۰۱۰
T6-INT	۲/۸۳	۱۲/۶	۲/۲۷	۶۴۳۱۶/۴۵	۰/۰۰۲
T6	۲۱/۹۳۳	۱۳/۸	۲/۰۱	۵۵۰۹۲۵/۷۵	۰/۰۱۷
T7	۲۸/۵۱	۱۴	۲/۰۵	۷۲۷۵۰۰/۴۴	۰/۰۲۳
T8	۱۲/۰۸۸	۱۳/۵	۲/۴۵	۳۰۸۶۳۹/۷۹	۰/۰۱۰
T9	۱/۶۹۳	۱۳/۲	۲/۳۹	۴۰۴۹۶/۳۹	۰/۰۰۱
T10	۳/۰۷	۱۳/۳	۲/۴۱	۷۴۰۴۷/۲۸	۰/۰۰۲
T11	۲/۴۴۸	۱۳/۱	۲/۳۷	۵۸۰۶۸/۱۳	۰/۰۰۲
T12-1	۱۰/۲۳۲۵	۱۴/۴	۲/۷۳	۴۰۰۹۵۷/۱۵	۰/۰۱۳
T12-2	۱۶/۹۷۲۵	۱۴	۲/۰۰	۴۳۳۱۲۷/۴۴	۰/۰۱۴
T12-INT	۱۵/۰۹۵	۱۳/۳	۲/۴۱	۳۶۴۰۸۰/۹۵	۰/۰۱۲
T12	۴۷/۳	۱۳/۹	۲/۰۳	۱۱۹۷۵۸۲/۵۴	۰/۰۳۸

جدول ۷: دبی متوسط و حجم سیلاب سالانه برآورد شده به روش UP2

نام زیر حوضه ها	مساحت (Km ²)	بارندگی (cm)	ارتفاع رواناب (cm)	حجم سیلاب (m ³)	دبی (m ³ /s)
T1	۱۰/۸۶۵	۱۳/۵	۲/۵۳	۲۷۴۷۰۲/۶۰	۰/۰۰۹
T2	۱۳/۱۰۸	۱۴/۱	۲/۷۱	۳۵۰۲۵۹/۲۰	۰/۰۱۱
T3	۴/۴۴	۱۳/۱	۲/۴۱	۱۰۶۹۳۷/۸۱	۰/۰۰۳
T4	۱۱/۸۸	۱۳/۹	۲/۶۵	۳۱۴۷۳۹/۷۸	۰/۰۱۰
T5	۲/۵۵۵	۱۳	۲/۳۸	۶۰۷۷۳/۱۲	۰/۰۰۲
T6-1	۷/۲۲۳	۱۳/۷	۲/۵۹	۱۸۶۹۸۰/۰۵	۰/۰۰۶
T6-2	۱۱/۸۸۵	۱۴/۱	۲/۷۱	۳۲۲۱۱۲/۸۸	۰/۰۱۰
T6-INT	۲/۸۳	۱۲/۶	۲/۲۶	۶۳۹۶۸/۷۹	۰/۰۰۲
T6	۲۱/۹۳۳	۱۳/۸	۲/۶۲	۵۷۴۴۱۸/۳۳	۰/۰۱۸
T7	۲۸/۵۱	۱۴	۲/۷۸	۷۶۳۹۹۷/۰۶	۰/۰۲۴
T8	۱۲/۵۸۸	۱۳/۵	۲/۵۳	۳۱۸۲۶۵/۶۵	۰/۰۱۰
T9	۱/۶۹۳	۱۳/۲	۲/۴۴	۴۱۲۸۱/۰۲	۰/۰۰۱
T10	۳/۰۷	۱۳/۳	۲/۴۷	۷۵۷۷۵/۵۵	۰/۰۰۲
T11	۲/۴۴۸	۱۳/۱	۲/۴۱	۵۸۹۵۹/۷۶	۰/۰۰۲
T12-1	۱۵/۲۳۲۵	۱۴/۴	۲/۸۰	۴۲۶۸۳۷/۰۲	۰/۰۱۴
T12-2	۱۷/۹۷۲۵	۱۴	۲/۷۸	۴۵۴۸۲۰/۷۷	۰/۰۱۴
T12-INT	۱۵/۰۹۵	۱۳/۳	۲/۴۷	۳۷۲۵۸۳/۶۷	۰/۰۱۲
T12	۴۷/۳	۱۳/۹	۲/۶۵	۱۲۵۳۱۳۰/۰۹	۰/۰۴۰

۴- رابطه لیسی (Lisi)

لیسی دانشمند هندی بر اساس بررسی‌هایی که در چندین حوضه به عمل آورده رابطه زیر را جهت برآورد رواناب سالانه ارائه نمود:

$$R = P / (1 + (304.8 (FZ) / P))$$

(رابطه ۵)

در این رابطه Fz- پارامتر مربوط به دوام بارش و مشخصات فیزیوگرافی، P- بارندگی متوسط سالانه به سانتی متر

R- متوسط رواناب سالانه به سانتی متر می‌باشد.

ضرایب مربوط به پارامتر (FZ) در جدول ۸ ارائه گردیده است.

جدول ۸: ضرایب پیشنهادی برای پارامتر Fz در روش لیسی

دلوام بارش			نوع اراضی حوضه آبخیز
طولانی	متوسط	کوتاه	
شامل			فلات‌ها، دشت‌های مسطح با خاک‌های عمیق و پوشش گیاهی مناسب
تا حدودی مسطح با خاک نیمه عمیق و پوشش گیاهی مرتعی			۰/۶۷
تپه‌های نسبتاً مرتفع با خاک کم عمق و پوشش گیاهی نسبتاً ضعیف			۰/۵
اراضی شنی همراه با مقداری سنگریزه با شب زیاد در ارتفاعات			۰/۲۳
اراضی سنگلاخی با ارتفاع و شب زیاد بدون پوشش گیاهی			۰/۲۸
۰/۴۳			۰/۱۴

در این مطالعه با توجه به جدول فوق میزان پارامتر (FZ)، مطابق جدول زیر تعیین گردیده و نتایج محاسبات مربوط به برآورد رواناب سالانه در جدول ۹ ارائه گردیده است.

جدول ۹: مقادیر ارتفاع، ضریب و حجم سیلاب محاسبه شده به روش تجربی لیسی در زیر حوضه‌های تیغ آب

نام زیر حوضه‌ها	مساحت (Km ²)	بارندگی متوسط سالانه (cm)	Fz	متوسط رواناب سالانه (cm)	ضریب جریان	حجم سیلاب (m ³)	دبی متوسط سالانه (m ³ /s)
T1	۱۰/۸۶۵	۱۳/۵۰	۰/۲	۲/۴۵	۰/۱۸	۲۶۵۹۳۴/۲	۰/۰۰۸
T2	۱۳/۱۰۸	۱۴/۱۰	۰/۲	۲/۶۵	۰/۱۹	۳۴۷۱۸۹/۱	۰/۰۱۱
T3	۴/۴۴	۱۳/۱۰	۰/۳	۱/۶۴	۰/۱۳	۷۲۸۸۵/۸	۰/۰۰۲
T4	۱۱/۸۸	۱۳/۹۰	۰/۲۷	۲/۰۱	۰/۱۴	۲۳۸۶۱۰/۲	۰/۰۰۸
T5	۲/۰۵۵	۱۳/۰۰	۰/۳۳	۱/۴۹	۰/۱۱	۳۸۰۱۵/۵	۰/۰۰۱
T6-1	۷/۲۲۳	۱۳/۷۰	۰/۲۲	۲/۳۲	۰/۱۷	۱۶۷۸۷۴/۲	۰/۰۰۵
T6-2	۱۱/۸۸۵	۱۴/۱۰	۰/۲۳	۱/۷۳	۰/۱۲	۲۰۶۰۳۲/۰	۰/۰۰۷

T6-INT	۲/۸۳	۱۲/۶۰	۰/۳۷	۱/۲۷	۰/۱۰	۳۵۸۳۵/۵	۰/۰۰۱
T6	۲۱/۹۳۳	۱۳/۸۰	۰/۲۳	۲/۲۷	۰/۱۶	۴۹۷۸۲۱/۴	۰/۰۱۶
T7	۲۸/۵۱	۱۴	۰/۲۴	۲/۲۵	۰/۱۶	۶۴۱۱۷۴/۰	۰/۰۲۰
T8	۱۲/۵۸۸	۱۳/۵	۰/۲۹	۱/۷۹	۰/۱۳	۲۲۵۱۵۶/۳	۰/۰۰۷
T9	۱/۶۹۳	۱۳/۲	۰/۳۷	۱/۳۸	۰/۱۰	۲۳۴۱۶/۲	۰/۰۰۱
T10	۳/۰۷	۱۳/۳	۰/۲۷	۱/۸۵	۰/۱۴	۵۶۸۰۷/۰	۰/۰۰۲
T11	۲/۴۴۸	۱۳/۱	۰/۲۸	۱/۷۴	۰/۱۳	۴۲۶۷۴/۱	۰/۰۰۱
T12-1	۱۵/۲۳۲۵	۱۴/۴	۰/۱۸	۲/۹۹	۰/۲۱	۴۵۶۰۲۴/۹	۰/۰۱۴
T12-2	۱۶/۹۷۲۵	۱۴	۰/۲۸	۱/۹۷	۰/۱۴	۳۳۴۸۵۷/۷	۰/۰۱۱
T12-INT	۱۵/۰۹۵	۱۳/۳	۰/۲۸	۱/۷۹	۰/۱۳	۲۷۰۶۸۶/۰	۰/۰۰۹
T12	۴۷/۳	۱۳/۹	۰/۲۳	۲/۳۰	۰/۱۷	۱۰۸۷۹۰۴/۵	۰/۰۳۴

بررسی‌های هیدرولوژیکی در سه مرحله مطالعاتی (۱) - اندازه گیری، (۲)- ثبت داده‌ها و (۳)- تجزیه و تحلیل آنها و استفاده از نتایج آن در تعیین مبانی پژوهش صورت گرفته است؛ لذا به منظور تعیین دبی اوج ایستگاه‌های مجاور حوضه مطالعاتی در دوره بازگشت سری‌های سالانه، دبی حداکثر ایستگاه‌ها را با استفاده از نرم افزار HYFRAN برآذش داده و بر اساس تست‌های آکائی و بایسین مناسب‌ترین نوع توزیع یعنی توزیع گاما انتخاب شده است. جدول ۱۰ دبی اوج ایستگاه‌ها را در دوره‌های بازگشت مختلف نشان می‌دهد.

جدول ۱۰: مقادیر دبی اوج ایستگاه‌های مجاور حوضه تیغ آب (مترمکعب بر ثانیه)

احتمال وقوع (درصد)	دورة بازگشت	پوزک	پرسهراپ	پیردان	باهوکلات	پیشین	دامن	بمپور	لادیز	
۱	۱۰۰	۱۷۲۰۰	۲۶۷۰	۴۵۷۰	۲۶۱۰	۷۴۲۰	۷۸۶۰	۲۰۵۰	۲۱۶۰	۴۴۹
۲	۵۰	۱۴۰۰۰	۲۲۱۰	۳۹۶۰	۲۲۰۰	۶۳۲۰	۶۴۹۰	۱۷۶۰	۱۸۲۰	۳۷۵
۴	۲۵	۱۰۹۰۰	۱۹۰	۳۳۵۰	۱۷۹۰	۵۲۲۰	۵۱۰	۱۴۶۰	۱۴۹۰	۳۰۳
۱۰	۱۰	۷۹۸۰	۱۴۷۰	۲۵۳۰	۱۲۵۰	۳۷۶۰	۳۴۲۰	۱۰۷۰	۱۰۶۰	۲۰۸
۲۰	۵	۴۲۳۰	۱۰۹۰	۱۸۸۰	۸۵۵	۲۶۵۰	۲۱۸۰	۷۶۵	۷۲۸	۱۳۸
۵۰	۲	۱۱۶۰	۵۵۳	۹۶۳	۳۴۲	۱۱۶۰	۷۰۵	۳۵۳	۳۰۲	۵۱

پ- روش‌های محاسبه دبی اوج سیلان

در این تحقیق به منظور دستیابی به میزان حداقل سیلان حوضه و تخمین دبی اوج سیلان از روش‌های تجربی زیر استفاده شده است:

۱- روش کریگر

این روش بطور گسترده برای تعیین دبی حداقل سیلان در سطوح حوضه‌های آبریز بزرگ و کوچک مورد استفاده قرار گرفته است، فرمول کریگر (Creager) به صورت زیر بیان می‌شود.

$$Q = 46CA \left(0.894A - 0.048 \right) \quad (\text{رابطه } ۶)$$

در این رابطه A- مساحت حوضه (مايل مربع)، Q- حداقل سیلان (CFC) و C- ضریب حوضه می‌باشد.

مقدار ضریب C برای دوره‌های بازگشت مختلف فرق می‌کند. در صورتی که بتوان ضریب C را برای یک منطقه تخمین زد، می‌توان سیلان‌های حوضه‌های موجود در آن منطقه را با دوره بازگشت دلخواه برآورد کرد. به منظور تعیین ضریب C برای محدوده مطالعاتی از ایستگاه مبنا به صورت نقطه‌ای استفاده شد. در این روش به منظور تعیین ضریب C از آمار دبی حداقل

لحظه‌ای سالانه ایستگاه دامن (ایستگاه مبنای استفاده به عمل آمد. با استفاده از ضریب C (جدول ۱۱)، مقدار دبی سیلان در دوره‌های بازگشت مختلف محاسبه و نتایج حاصل در جدول ۱۲، نشان داده شده است.

جدول ۱۱: مقدار ضریب C برای دوره‌های بازگشت مختلف در ایستگاه دامن به روش کریگر

دوره بازگشت (T)	ضریب C				
۱۰۰	۵۰	۲۵	۱۰	۵	۲
۳۳/۹	۲۸/۷	۲۳/۵	۱۷/۷	۱۱/۶	۴/۹۸

جدول ۱۲: دبی اوج (مترمکعب بر ثانیه) محاسبه شده برای زیر حوضه‌ها به روش کریگر (نقطه‌ای)

دبی حداقل با دوره‌های بازگشت مختلف (m^3/s)						مساحت	مساحت	نام زیر حوضه‌ها
۱۰۰	۵۰	۲۵	۱۰	۵	۲	mile ²	ha	
۷۱/۰۵	۶۱/۴۲	۵۰/۹۵	۳۷/۲۳	۲۶/۶۸	۱۲/۳۳	۴/۱۹	۱۰۸۷/۵	T1
۸۲/۶۷	۷۰/۹۷	۵۸/۸۷	۴۳/۱۳	۳۰/۸۳	۱۴/۲۴	۵/۰۶	۱۳۱۰/۸	T2
۳۴/۵۸	۲۹/۶۹	۲۴/۶۲	۱۸/۰۴	۱۲/۹۰	۵/۹۶	۱/۷۱	۴۴۴	T3
۷۷/۶۷	۶۵/۸۱	۵۴/۰۹	۴۰/۰۰	۲۸/۰۹	۱۳/۲۱	۴/۰۹	۱۱۸۸	T4
۲۱/۳۶	۱۸/۳۴	۱۵/۲۱	۱۱/۱۴	۷/۹۷	۳/۷۸	۰/۹۹	۲۰۵/۰	T5
۵۱/۷۶	۴۴/۴۳	۳۶/۸۶	۲۷/۰۰	۱۹/۳۰	۸/۹۲	۲/۷۹	۷۲۲/۳	T6-1
۷۷/۶۹	۶۵/۸۴	۵۴/۶۱	۴۰/۰۱	۲۸/۶۰	۱۳/۲۱	۴/۰۹	۱۱۸۸/۵	T6-2
۲۳/۴۰	۲۰/۰۹	۱۶/۶۶	۱۲/۲۱	۸/۷۲	۴/۰۳	۱/۰۹	۲۸۳	T6-INT
۱۲۱/۲۱	۱۰۴/۰۵	۸۶/۳۰	۶۳/۲۳	۴۵/۲۰	۲۰/۸۸	۸/۴۷	۲۱۹۳/۳	T6
۱۴۶/۱۹	۱۲۵/۴۹	۱۰۴/۰۹	۷۶/۲۶	۵۴/۰۱	۲۵/۱۹	۱۱/۰۱	۲۸۵۱	T7
۸۰/۱۵	۶۸/۸۱	۵۷/۰۷	۴۱/۸۱	۲۹/۸۹	۱۳/۸۱	۴/۸۶	۱۲۵۸/۸	T8
۱۴/۶۷	۱۲/۰۹	۱۰/۴۵	۷/۶۵	۵/۴۷	۲/۰۳	۰/۶۵	۱۶۹/۳	T9
۲۵/۱۴	۲۱/۵۸	۱۷/۹۰	۱۲/۱۲	۹/۸۸	۴/۲۳	۱/۱۹	۳۰۷	T10
۲۰/۰۶	۱۷/۶۵	۱۴/۶۴	۱۰/۷۲	۷/۶۷	۳/۵۴	۰/۹۰	۲۴۴/۸	T11
۹۲/۶۳	۷۹/۰۱	۶۵/۹۵	۴۸/۳۲	۳۴/۵۴	۱۵/۹۶	۰/۸۸	۱۰۲۳/۲۵	T12-1
۱۰۰/۴۲	۸۶/۲۱	۷۱/۰۱	۵۲/۳۹	۳۷/۴۵	۱۷/۳۰	۷/۰۵	۱۶۹۷/۲۵	T12-2
۹۲/۰۰	۷۸/۹۷	۶۵/۰۱	۴۷/۹۹	۳۴/۳۱	۱۵/۸۵	۰/۸۳	۱۰۰۹/۵	T12-INT
۲۰۷/۰۰	۱۷۷/۶۹	۱۴۷/۳۹	۱۰۷/۹۹	۷۷/۱۹	۳۵/۶۶	۱۸/۲۶	۴۷۳۰	T12

۲- روش دیکن (Dicken)

شكل کلی این معادله به صورت ساده زیر می‌باشد:

$$Q = Q_0 \left(\frac{A}{A_0} \right)^{0.75} \quad (رابطه ۷)$$

در این رابطه Q - دبی سیلان حوضه مورد مطالعه بر حسب متر مکعب بر ثانیه، Q_0 - دبی سیلان ایستگاه مرجع بر حسب متر مکعب بر ثانیه، A - سطح حوضه آبریز مورد مطالعه به کیلومتر مربع، A_0 - سطح حوضه آبریز ایستگاه مرجع به کیلومتر مربع می‌باشد. ایستگاه دامن، ایستگاه مرجع می‌باشد. مقدار دبی سیلان در دوره‌های بازگشت مختلف با این روش محاسبه و نتایج حاصل در جدول ۱۳، آورده شده است.

جدول ۱۳: دبی اوج (مترمکعب بر ثانیه) محاسبه شده برای زیر حوضه‌ها به روش دیکن

نام زیر حوضه‌ها	دبی حداقل سیلان با دوره‌های بازگشت مختلف (m^3/s)					
	۲	۵	۱۰	۲۵	۵۰	۱۰۰
T1	۴/۷۱	۱۰/۲۰	۱۴/۲۶	۱۹/۴۶	۲۳/۴۶	۲۷/۳۳
T2	۵/۴۲	۱۱/۷۴	۱۷/۴۲	۲۲/۴۱	۲۷/۰۱	۳۱/۴۶
T3	۲/۴۱	۵/۲۱	۷/۲۹	۹/۹۵	۱۱/۹۹	۱۳/۹۷
T4	۵/۰۳	۱۰/۹۱	۱۵/۲۰	۲۰/۸۱	۲۵/۰۹	۲۹/۲۲
T5	۱/۰۹	۳/۴۴	۴/۸۲	۷/۵۷	۷/۹۲	۹/۲۳
T6-1	۳/۴۶	۷/۵۱	۱۰/۵۰	۱۴/۳۳	۱۷/۲۷	۲۰/۱۲
T6-2	۵/۰۳	۱۰/۹۱	۱۵/۲۶	۲۰/۸۲	۲۵/۱۰	۲۹/۲۳
T6-INT	۱/۷۲	۳/۷۲	۵/۲۰	۷/۱۰	۸/۵۵	۹/۹۶
T6	۷/۹۷	۱۷/۲۷	۲۴/۱۶	۳۲/۹۶	۳۹/۷۴	۴۷/۲۹
T7	۹/۷۰	۲۱/۰۳	۲۹/۴۱	۴۰/۱۳	۴۸/۳۸	۵۶/۳۵
T8	۵/۲۶	۱۱/۳۹	۱۵/۹۳	۲۱/۷۴	۲۶/۲۰	۳۰/۵۲
T9	۱/۱۷	۲/۵۳	۳/۰۴	۴/۸۳	۵/۸۲	۷/۷۸
T10	۱/۸۲	۲/۹۰	۵/۰۳	۷/۵۴	۹/۰۹	۱۰/۰۹
T11	۱/۰۴	۳/۳۴	۴/۶۷	۷/۳۷	۷/۶۷	۸/۹۴
T12-1	۷/۰۶	۱۳/۱۴	۱۸/۳۸	۲۵/۰۸	۳۰/۲۳	۳۵/۲۱
T12-2	۷/۰۸	۱۴/۲۵	۱۹/۹۳	۲۷/۲۰	۳۲/۷۹	۳۸/۱۹

۳- برآورد مقادیر شدت سیلاب به روش SCS

۱-۳- محاسبه مقدار تلفات کل بارش

مقدار هدر رفت کل که مربوط به مقدار نفوذ در خاک و ذخیره سطحی است، توسط رابطه‌ای با یک عامل بدون بعد به نام CN ارتباط می‌یابد.

$$s = \frac{25400}{CN} - 254 \quad (\text{رابطه ۸})$$

برای ضریب S یک مقدار حداقل و حداکثر موجود هست که به رطوبت قبلی خاک بستگی دارد. نتایج حاصل از اندازه گیری‌ها در زیروحشهای مورد مطالعه نشان داد که از کل تلفات بالقوه حوضه‌ی s به طور متوسط، حدود $0/2$ آن قبیل از شروع جریان یافتن هرز آب به صورت تلفات اولیه عمل کرده و $0/8$ بقیه آن در طول بارش، صرف نفوذ سطحی و عمقی در خاک می‌گردد؛ بنابراین در هر مورد، چنانچه ارتفاع بارندگی کمتر از $0/2S$ باشد، فرض می‌شود که رواناب به وجود نخواهد آمد. به منظور بالا بردن درجه اطمینان در تخمین دبی اوج سیل از مقدار ضریب S استفاده شده است که از حداکثر توان تولید رواناب برخوردار می‌باشد و نتایج در جدول ۱۴ نشان داده شده است.

جدول ۱۴: مقادیر ضریب نگهداشت سطحی (کل تلفات) بارش

نام زیروحشهای	مساحت (km^2)	CN	S
t1	۱۰/۸۶۵	۸۳	۵۲/۰۲
t2	۱۳/۱۰۸	۸۵	۴۴/۸۲
t3	۴/۴۴	۸۱	۵۹/۵۸
t4	۱۱/۸۸	۸۲	۵۵/۷۶
t5	۲/۰۵۵	۸۱	۵۹/۵۸
t6-1	۷/۲۲۳	۸۴	۴۸/۳۸
t6-2	۱۱/۸۸۵	۸۵	۴۴/۸۲
t6-int	۲/۸۳	۸۰	۶۳/۵۰
t6	۲۱/۹۳۳	۸۳	۵۲/۰۲

t7	۲۸/۵۱	۸۴	۴۸/۳۸
t8	۱۲/۵۸۸	۸۱	۵۹/۵۸
t9	۱/۶۹۳	۸۱	۵۹/۵۸
t10	۳/۰۷	۸۲	۵۵/۷۶
t11	۲/۴۴۸	۸۲	۵۵/۷۶
t12-1	۱۵/۲۳۲۵	۸۷	۳۷/۹۵
t12-2	۱۶/۹۷۲۵	۸۲	۵۵/۷۶
T12-INT	۱۵/۰۹۵	۸۲	۵۵/۷۶
t12	۴۷/۳	۸۴	۴۸/۳۸

۳-۲- تعیین زمان تا اوج واحدهای هیدرولوژیک

در روش SCS مقدار زمان تا اوج از روی زمان تمرکز واحدهای هیدرولوژیک، به دست می‌آید که عبارتست از:

$$TP=0.7TC$$

(رابطه ۹)

در این رابطه T_p - زمان تا اوج واحد هیدرولوژیک، T_C - زمان تمرکز واحد هیدرولوژیک می‌باشد.

جدول ۱۵، زمان رسیدن به اوج را به تفکیک برای واحدهای هیدرولوژی نشان می‌دهد.

۳-۳- تعیین مقادیر دبی اوج هیدروگراف واحد

در روش SCS برای برآورد دبی اوج هیدروگراف واحد رابطه زیر ارائه شده است

$$Qp = \frac{2.083A}{T_p} \quad (رابطه ۱۰)$$

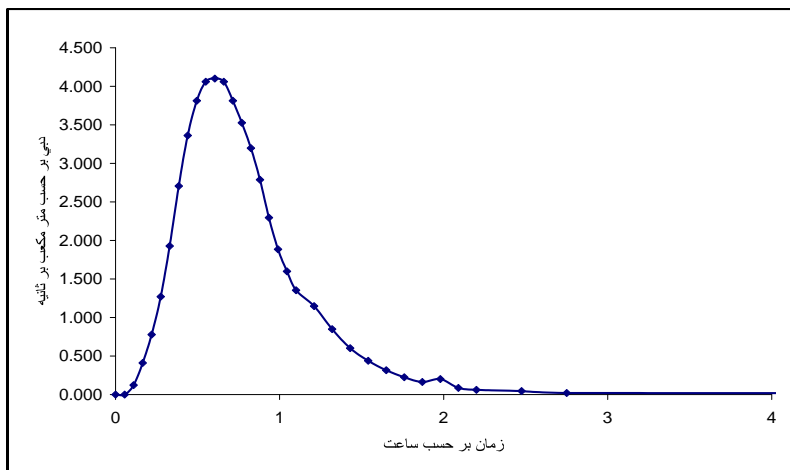
در این رابطه Q_p - دبی حداکثر لحظه‌ای به مترمکعب در ثانیه، A - مساحت حوضه به کیلومتر مربع، T_p - زمان از شروع شاخه صعودی هیدروگراف تا رسیدن به اوج بر حسب ساعت می‌باشد.

در جدول ۱۵ مقادیر دبی اوج هیدروگراف واحد برای هر یک از واحدهای هیدرولوژیک ارائه شده است و شکل ۵ هیدروگراف واحد سیل و شکل ۶ هیدروگراف سیل را با دوره‌های بازگشت مختلف در زیرحوضه T1 به صورت نمونه نشان می‌دهند.

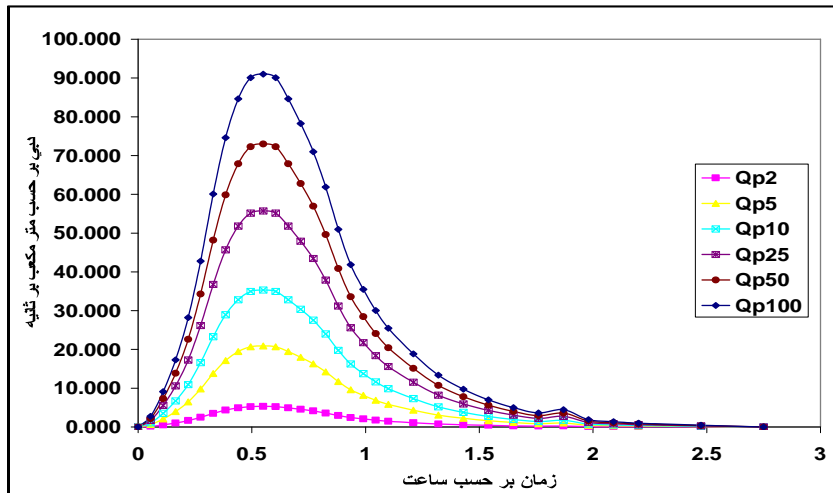
جدول ۱۵: مقادیر دبی اوج هیدروگراف واحد

نام زیرحوضه‌ها	مساحت (Km ²)	زمان تمرکز		Tl	D	Tp	Qp
		روش	ساعت				
t1	۱۰/۹	کریچ	۰/۷۶	۰/۵۰	۰/۱۰	۰/۵۵	۴/۱۰
	۱۰/۹	ویلیامز	۱/۳۳	۰/۸۸	۰/۱۸	۰/۹۷	۲/۳۴
t2	۱۳/۱	کریچ	۰/۹۴	۰/۶۲	۰/۱۳	۰/۶۸	۴/۰۰
	۱۳/۱	ویلیامز	۱/۶۷	۱/۱۰	۰/۲۲	۱/۲۱	۲/۲۵
t3	۴/۴۴	کریچ	۰/۸۳	۰/۰۵	۰/۱۱	۰/۶۰	۱/۰۳
	۴/۴۴	ویلیامز	۱/۲۱	۰/۸۰	۰/۱۶	۰/۸۸	۱/۰۵
t4	۱۱/۹	کریچ	۰/۸۸	۰/۰۸	۰/۱۲	۰/۶۴	۳/۸۷
	۱۱/۹	ویلیامز	۱/۳۸	۰/۹۱	۰/۱۸	۱/۰۰	۲/۴۷
t5	۲/۰۶	کریچ	۰/۴۰	۰/۳۰	۰/۰۶	۰/۳۳	۱/۶۳
	۲/۰۶	ویلیامز	۰/۶۹	۰/۴۶	۰/۰۹	۰/۵۰	۱/۰۶
t6-1	۷/۲۲	کریچ	۰/۷۲	۰/۴۸	۰/۱۰	۰/۵۲	۲/۸۸
	۷/۲۲	ویلیامز	۱/۳۴	۰/۸۸	۰/۱۸	۰/۹۷	۱/۰۵
t6-2	۱۱/۹	کریچ	۰/۹۴	۰/۶۲	۰/۱۳	۰/۶۸	۳/۶۳
	۱۱/۹	ویلیامز	۰/۴۵	۰/۳۰	۰/۰۶	۰/۳۳	۷/۵۷
t6-int	۲/۸۳	کریچ	۰/۵۷	۰/۳۸	۰/۰۸	۰/۴۱	۱/۴۲
	۲/۸۳	ویلیامز	۱/۵۳	۱/۰۱	۰/۲۰	۱/۱۱	۰/۰۳
t6	۲۱/۹	کریچ	۱/۰۷	۰/۷۱	۰/۱۴	۰/۷۸	۵/۸۸
	۲۱/۹	ویلیامز	۱/۷۲	۱/۱۴	۰/۲۳	۱/۲۵	۳/۶۶
t7	۲۸/۵	کریچ	۱/۱۳	۰/۷۵	۰/۱۵	۰/۸۲	۷/۲۳
	۲۸/۵	ویلیامز	۱/۷۷	۱/۱۰	۰/۲۲	۱/۲۱	۴/۸۹

t8	۱۲/۶	کریچ	۰/۹۴	۰/۶۲	۰/۱۳	۰/۶۸	۳/۸۴
	۱۲/۶	ویلیامز	۱/۲۶	۰/۸۳	۰/۱۷	۰/۹۲	۲/۸۶
t9	۱/۶۹	کریچ	۰/۳۷	۰/۲۴	۰/۰۵	۰/۲۷	۱/۳۱
	۱/۶۹	ویلیامز	۰/۷۶	۰/۵۰	۰/۱۰	۰/۰۵	۰/۷۴
t10	۳/۰۷	کریچ	۰/۴۶	۰/۳۰	۰/۰۶	۰/۳۳	۱/۹۱
	۳/۰۷	ویلیامز	۰/۸۲	۰/۵۴	۰/۱۱	۰/۷۰	۱/۰۷
t11	۲/۴۵	کریچ	۰/۷۶	۰/۵۰	۰/۱۰	۰/۰۵	۰/۹۲
	۲/۴۵	ویلیامز	۱/۱۵	۰/۷۶	۰/۱۵	۰/۸۴	۰/۷۱
t12-1	۱۵/۲	کریچ	۰/۸۱	۰/۵۳	۰/۱۱	۰/۰۹	۵/۳۹
	۱۵/۲	ویلیامز	۰/۸۹	۰/۵۹	۰/۱۲	۰/۶۵	۴/۹۱
t12-2	۱۷	کریچ	۰/۹۹	۰/۶۵	۰/۱۳	۰/۷۲	۴/۹۲
	۱۷	ویلیامز	۱/۱	۰/۷۳	۰/۱۵	۰/۸۰	۴/۴۲
T12-INT	۱۵/۱	کریچ	۱/۱۷	۰/۷۷	۰/۱۶	۰/۸۵	۳/۷۰
	۱۵/۱	ویلیامز	۱/۳۴	۰/۸۸	۰/۱۸	۰/۹۷	۳/۲۳
t12	۴۷/۳	کریچ	۰/۹۹	۰/۶۵	۰/۱۳	۰/۷۲	۱۲/۷۰
	۴۷/۳	ویلیامز	۱/۱	۰/۷۳	۰/۱۵	۰/۸۰	۱۲/۳۳



شکل ۵: هیدروگراف واحد سیل زیرحوضه T1



شکل ۶: هیدروگراف سیل با دوره‌های بازگشت مختلف در زیرحوضه T1

نتیجه گیری

مدیریت یکپارچه منابع آب حوضه آبریز نیازمند یک روش فکری چند بعدی است که وابستگی‌های بین طبیعت، اجتماع و سیستم‌های زیستی را در نظر بگیرد. طرح جامع مدیریت کمی و کیفی منابع آب سطحی و زیرزمینی بایستی با هدف توسعه پایدار مورد نظر قرار گیرد. در قسمت اول این پژوهش به مقایسه روش‌های مختلف، در برآورد میزان آبدی سالانه، منطقه مورد مطالعه پرداخته شد. با توجه به این که فاکتورهای مؤثر در هر یک از این روش‌ها با یکدیگر متفاوت می‌باشد، انتخاب روش مناسب از بین روش‌های برآورد آبدی سالانه با یکدیگر مشکلی است، مضاف بر اینکه ارقام حاصله گاهی مقادیر نزدیکی را حوضه مورد مطالعه، کار مشکلی است، مضاف بر اینکه ارقام حاصله گاهی مقادیر نزدیکی را نسبت به یکدیگر نشان نمی‌دهند. از بین روش‌های مورد استفاده روش، مؤسسه تحقیقات آبیاری ایالت UP هندوستان تفاوت قابل توجهی را در برآورد آبدی با سایر روش‌ها نشان دهد. با عنایت به نتایج این روش، مشاهده می‌شود که مقادیر برآورده آن، دو تا سه برابر مقادیر برآورده سایر روش‌های است. از بین روش‌های مورد استفاده به نظر می‌رسد روش جاستین، به دلیل در نظر گرفتن پارامترهای اقلیمی و غیر اقلیمی فراوان و نیز ضریب منطقه‌ای

در برآورده میانگین آبدهی سالانه، نتیجه بهتری را ارائه داده و برای استفاده در حوضه آبخیز تبع آب توصیه می‌شود.

محاسبات انجام شده نشان می‌دهد که تغییرات دبی ایستگاه‌های موجود در حوضه آبریز از رژیم منظمی پیروی نمی‌کند. بر اساس رابطه کمیته تحقیقات کشاورزی هندوستان حجم روان آب سالانه زیر حوضه‌های منطقه مورد مطالعه از ۱۶۰۹۳ تا ۴۱۸۸۹۷ متر مکعب و به روش جاستین بین ۱۶۷۵۲ تا ۶۳۵۰۲۲ متر مکعب و به روش لیسی از ۲۳۴۱۶ تا ۱۰۸۷۹۰۴ متر مکعب تغییر می‌کند.

در قسمت دوم، جهت برآورده حداکثر دبی لحظه‌ای سیلان از روش‌های SCS (هیدرولگراف واحد) و تجربی استفاده شده است. طبق محاسبات انجام شده حداکثر دبی لحظه‌ای حوضه آبریز به روش کریگر در دوره بازگشت ۱۰۰ ساله ۲۰۷ متر مکعب در ثانیه و به روش دیکن ۵۶/۳۵ متر مکعب در ثانیه برآورد گردیده است. اما مقادیر برآورده شده به روش SCS از جامعیت بیشتری برخوردار است و با بکارگیری پارامترهای فراوان حوضه و اقلیم، تقریب نزدیک‌تری از واقعیت حوضه را ارائه می‌دهد. از طرفی، مطالعات دیگر در هر یک از زیر حوضه‌ها نشان می‌دهد که مقادیر حاصله از روش SCS تقریب نزدیک‌تری را به واقعیت منطقه مورد مطالعه ارائه کرده است. از این رو، استفاده از نتایج حاصل از این روش برای سایر بخش‌ها بویژه برای بخش طراحی سازه‌های مورد نیاز محدوده مطالعاتی توصیه می‌گردد.

منابع

۱. خلیقی سیگارودی، شهرام؛ مهدوی، محمد؛ ثقفیان، بهرام (۱۳۸۴)، «بررسی اثر تغییر کاربری اراضی بر سیل خیزی با استفاده از مدل (NRCS)، مطالعه موردي در حوضه باراندوز چای در آذربایجان غربی»، *مجله منابع طبیعی ایران*، سال پنجماه و هشتم، شماره ۴، ص ۷۳۳ تا ۷۴۲.
۲. رضایی کلچ، منوچهر (۱۳۷۹)، «عوامل موثر بر سیل خیزی حوضه آبخیزکن و اولویت بندی زیر حوضه‌ها»، پایان نامه کارشناسی ارشد آبخیزداری، مرکز آموزش عالی امام خمینی.
۳. سازمان هواشناسی کشور، (۱۳۸۰)، «اقلیم و گردشگری در استان سیستان و بلوچستان»، ۱۰ صفحه.
۴. سلیمانی، کریم؛ یوسفی، علیرضا؛ کوچک نژاد، قادرعلی (۱۳۸۲)، «بررسی نقش عوامل فیزیوگرافیک حوضه بر دبی‌های حداکثر لحظه‌ای گرگان رود به منظور ارائه مدل منطقه‌ای سیلان»، *مجله علوم کشاورزی و منابع طبیعی*، سال دهم، شماره ۴، ص ۱۶۱ تا ۱۷۴.
۵. سلیمانی، کریم؛ حبیب نژاد روشن، محمود (۱۳۸۱)، «نقش عوامل هیدرو اقلیم در وقوع سیل حوضه نکارود»، *مجله منابع طبیعی ایران*، جلد ۵۵، شماره ۱، ص ۲۳ تا ۳۵.
۶. علیزاده، امین، (۱۳۸۵)، «اصول هیدرولوژی کاربردی»، مشهد، انتشارات دانشگاه فردوسی، ۶۷۵ صفحه.
۷. کار آموز، محمد؛ احمدی، آزاده؛ مریدی، علی (۱۳۸۶)، «مدیریت جامع منابع آب حوضه آبریز»، *کنفرانس ملی مدیریت منابع آب*، ۱۰ و ۱۱ اسفند ماه ۱۳۸۶ در دانشگاه سیستان و بلوچستان، ۱۳ صفحه.
۸. گزارش سیمای آب شهرستان زاهدان، (۱۳۸۱)، شرکت سهامی آب منطقه‌ای سیستان و بلوچستان، اداره کل امور آب، ۲۴ صفحه.

۹. مرید، سعید؛ ریاضتی، داود (۱۳۸۲)، «مقایسه مدل‌های تحلیل منطقه‌ای سیلاب و بارش-رواناب در شرق استان هرمزگان»، *مجله علوم کشاورزی و منابع طبیعی*، سال دهم، شماره دوم، ص ۱۸۱ تا ۱۹۳.
۱۰. محمودی، پیمان؛ منصوری، قباد؛ شاهوزئی، عبدالرئوف؛ خسروی، پرویز (۱۳۸۶)، «خشنکسالی و تأثیر آن بر روی کیفیت منابع آب سطحی در استان سیستان و بلوچستان»، *کنفرانس ملی مدیریت منابع آب*، ۱۰ و ۱۱ اسفند ماه ۱۳۸۶ در دانشگاه سیستان و بلوچستان، صفحه ۱۷
۱۱. مسعودیان، سید ابوالفضل (۱۳۸۴)، «شناسایی الگوهای گردشی پدید آورنده سیلاب‌های بزرگ در کارون»، *مجله جغرافیا و توسعه*، سال سوم، شماره ۵، ۱۶۱ تا ۱۸۲.
12. Brooks, K. N. Foliot, P, Gregersen, H, M, Thames, J. L. (1991), "*Hydrology and the Management of Watershed*", Iowa State University.
13. Groening, V. Williams, H, (2006), "*Impact of Urbanization on Storm Response of White Rock Creek*", Dallas, TX, www.springerlink.com (on line).
14. Karunaniti, N, Grenny, W. J, withley, D. Bovee, K, (1994), "Natural Networks for River Flow Prediction", *Computing in Civil Engineering*.
15. Sharifi, F, Boyd, M, J, (1994), "A Comparision of the SFB and AWBM rainfall-runoff models", *25th Congress of the International Association of Hydrologists/International Hydrology & Water Resources*, Symposiom of the Institution of Engineers, Australia, Adelaide.
16. Tong Jiang et al, (2007), "*Temporal and spatial trends of precipitation and river flow in the Yangtze River Basin, 1961–2000*", Nanjing Institute of Geography and Limnology, Chinese Academy of Sciences, Nanjing 210008, China Department of Geography.